## ПРОЧНОСТЬ И ПЛАСТИЧНОСТЬ

УДК 669.15-194:539.4.016

# ИЗМЕНЕНИЕ МЕХАНИЧЕСКИХ СВОЙСТВ ТРУБНОЙ ВЫСОКОХРОМИСТОЙ ЭКОНОМНО ЛЕГИРОВАННОЙ СТАЛИ В ЗАВИСИМОСТИ ОТ РЕЖИМОВ ОТПУСКА ПОСЛЕ МЕЖКРИТИЧЕСКОЙ ЗАКАЛКИ

© 2020 г. А. Н. Маковецкий $^a$ , Д. А. Мирзаев $^b$ , Л. И. Юсупова $^a$ , А. О. Красноталов $^a$ , А. А. Мирзоев $^b$ , С. А. Созыкин $^b$ , \*

<sup>а</sup>ПАО "Челябинский трубопрокатный завод" (ЧТПЗ), ул. Машиностроителей, 21, Челябинск, 454129 Россия <sup>b</sup>Южно-Уральский государственный университет (ЮУрГУ), пр. Ленина, 76, Челябинск, 454080 Россия \*e-mail sozykinsa@susu.ru

> Поступила в редакцию 25.09.2019 г. После доработки 01.10.2019 г. Принята к публикации 11.10.2019 г.

Исследовано влияние однократного и двукратного отпуска при различных температурах на механические свойства новой трубной коррозионностойкой высокохромистой (13% Cr) экономно легированной стали, закаленной из межкритического интервала температур. Показано существование совпадающих по температуре максимума ударной вязкости и минимума предела текучести на зависимостях этих величин от температуры отпуска. Температура экстремумов предположительно определяется положением "носа" C-образной температурной диаграммы выделения частиц карбида (Cr, Fe) $_{23}$ C $_6$  из мартенсита при отпуске. Показано, что положение экстремумов не зависит от продолжительности первого общего отпуска.

*Ключевые слова:* трубная сталь, межкритическая закалка, отпуск мартенсита, выделение специальных карбидов, ударная вязкость

**DOI:** 10.31857/S0015323020040087

#### **ВВЕДЕНИЕ**

Высокохромистые стали представляют перспективный материал для изготовления обсадных труб, нефтепроводов, шиберных заслонок, вентилей и т.п. [1-4]. При содержании хрома более 12% такие стали устойчивы по отношению к сероводородной коррозии и растрескиванию, а наличие мартенситной структуры обеспечивает высокую прочность и износостойкость. Однако при пуске или остановке потока топлива в трубах наблюдается резкий рост или падение внутреннего давления в трубе, что приводит к появлению окружных напряжений в стенке, которые при низких температурах могут вызвать продольное хрупкое разрушение труб. Поэтому главную проблему при выборе состава стали и режима термообработки представляет необходимость достижения согласно техническим условиям (ТУ) ЧТПЗ для труб высокого давления комплекса свойств прочности  $(\sigma_{\rm T} = 552 - 655, \, \sigma_{\rm B} \ge 655 \, \text{MPa})$  и ударной вязкости  $(KCV^{-60} ≥ 50 Дж/см^2)$ . Весьма перспективной в этом отношении является экономно легированная сталь 15Х13Н2. Исследование механических свойств этой стали было проведено Лаевым,

Пышминцевым и Смирновым с сотр. [5—7]. Авторы изучили возможности использования полной закалки, закалки из межкритического интервала (МКИ) температур с последующим высоким отпуском ниже  $Ac_1$  и термомеханической обработки. Надежное достижение требуемого комплекса свойств давала термомеханическая обработка. Закалка из МКИ обеспечивала требуемый уровень свойств на пределе допуска. Закалка с высоким отпуском не позволяла его достигнуть. Последний вывод подтвердили также исследования, проведенные нами в ЮУрГУ и на ЧТПЗ. Основная проблема заключается не в получении требуемой прочности, а в достижении необходимой ударной вязкости при заданной прочности.

Однако далеко не все прокатные станы для труб позволяют реализовать термомеханическую обработку. Поэтому у авторов статьи возникли идеи воздействия на аустенит с целью его стабилизации при температурах мартенситного превращения (МП), а также усиления эффекта межкритической закалки (МКЗ) за счет выбора оптимальных температур и длительностей последующих однократного или двукратного отпуска(ов), а также

**Таблица 1.** Химический состав опытной стали 15X13H2 в мас. %

С	Mn	Si	P	S	Cr	Ni	Cu	Mo
0.14	0.52	0.28	0.012	0.002	12.45	2.26	0.15	0.1

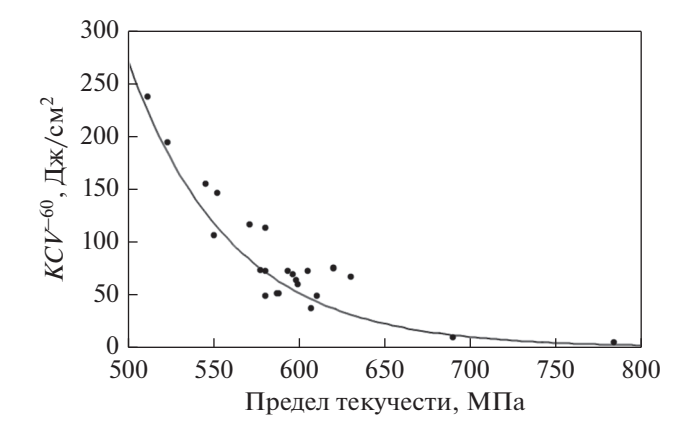
условий окончательного охлаждения после отпуска. Эффектам стабилизации посвящена статья [8]. Вопросы межкритической закалки будут рассмотрены в данной работе.

### МАТЕРИАЛ И МЕТОДИКА ИССЛЕДОВАНИЯ

Исследовали низкоуглеродистую нержавеющую сталь мартенситного класса 15X13H2. Химический состав стали представлен в табл. 1.

Критические точки стали были измерены по соответствующим перегибам на дилатограмме нагрева и охлаждения образца, записанной на дилатометре "Linseis" L 76/1600. Температура критической точки  $Ac_1$  была уточнена по положению температуры минимума твердости для серии образцов, исходно закаленных, а затем отпущенных с температурным шагом  $10^{\circ}$ С и вновь закаленных в воде. В итоге было установлено:  $Ac_1 = 690^{\circ}$ С;  $Ac_3 = 855^{\circ}$ С;  $M_s = 328^{\circ}$ С.

Схема экспериментов с применением МКЗ была следующей. Из трубы опытного производства вырезали темплеты. Их последовательно нагревали до 950°С, выдерживали 1 ч. и охлаждали (закаливали) на воздухе. Далее проводили МКЗ и однократный или двукратный отпуск. Окончательное охлаждение проводили в воде или на воздухе. Затем темплет разрезали на заготовки образцов для механических испытаний, размеры которых отличались от требуемых по толщине или диаметру на 2 мм. После термических обработок



**Рис. 1.** Взаимосвязь ударной вязкости и предела текучести всех испытанных в исследовании образцов стали 15X13H2.

при окончательной механообработке удаляли окисленную и обезуглероженную поверхность и доводили размеры образцов до требуемых величин. Тогда же нарезали V-образные канавки у образцов для измерения ударной вязкости. Испытания на статическое растяжение проводили на машине Instron 3382 при скорости удлинения 1 мм/мин. Для каждого измерения использовали 3 образца с диаметром рабочей части 6 мм и расчетной длиной 30 мм по ГОСТ 1497 с последующим усреднением результатов. Погрешности измерения  $\sigma_{0,2}$  и  $\sigma_{R}$  не превышали 5 МПа, а относительного удлинения — 0.1%. Ударную вязкость определяли с помощью маятникового копра МК-30 на образцах сечением  $10 \times 10$  мм с *V*-образным надрезом согласно ГОСТ 9454. Перед измерениями образцы охлаждали в смеси спирта и жидкого азота до температуры -60°C. После каждого режима обработки определяли ударную вязкость *КСV*<sup>-60</sup> стали как среднее значение по результатам испытания трех образцов. В большинстве опытов температура МКЗ составляла  $730^{\circ}$ С, выдержка — 1 ч, охлаждение, как правило, проводили на воздухе. С целью поиска оптимального режима отпуска использовали как однократный, так и двукратный отпуск. Особое внимание было уделено влиянию на ударную вязкость скорости охлаждения от температуры последнего отпуска, для чего многие режимы отпуска дублировали в вариантах охлаждения на воздухе и в воде (иногда струями воды).

# РЕЗУЛЬТАТЫ ИССЛЕДОВАНИЯ И ИХ ОБСУЖДЕНИЕ

Сводные данные о механических свойствах стали 15Х13Н2 после различных режимов МКЗ и одно-или двукратного отпуска представлены в табл. 2. Обращает на себя внимание, что низким значениям предела текучести соответствует высокая ударная вязкость. У образца № 9 ударная вязкость имеет максимальное значение (237 Дж/см<sup>2</sup>) по отношению к другим обработкам, а предел текучести  $\sigma_{0.2}$  — минимальное из всех значение 510 МПа. Напротив, наивысшие значения предела текучести 785 и 690 МПа при минимальной ударной вязкости 4.6 и 9 Дж/см<sup>2</sup> наблюдались у двух образцов, которые после закалки от 950°C были отпущены несколько минут при 760°C. Общий график зависимости  $KCV^{-60}$  от предела текучести (рис. 1) отражает существование корреляции при изменении этих величин. Подобная статистическая зависимость между  $\sigma_{\rm B}$  и  $KCV^{-60}$ проявляется весьма слабо.

При нагреве стали выше 690°С "фигуративная" точка состава стали оказывается в межкритическом интервале температур диаграммы фазового равновесия:  $\alpha = \gamma$ . В стали появляется новая фаза-аустенит. Ее количество в условиях изотер-

**Таблица 2.** Механические свойства образцов трубной стали 15X13H2, подвергнутых МК3, одно- или двукратному отпуску с заключительным охлаждением в воде или на воздухе

Режим термообработки						$\sigma_{_{\rm B}}$	$\delta_5$	<i>КСV</i> <sup>-60</sup> , продольные, ср.
Nº		аустенизации охлаждения	Температура отпуска (°С) и среда охлаждения		Н/мм²	МПа	%	Дж/см <sup>2</sup>
Технические условия						≥655	≥20	≥50
1	950°С, 1 ч,	730°С, 1 ч,	650°С, 1 ч,		615	790	22.5	64
	воздух	воздух	вода					
2	950°С, 1 ч,	730°С, 1 ч,	650°С, 40 мин,	650°С, 40 мин,	555	750	23.5	106
	воздух	воздух	вода	вода				
3	950°С, 1ч,	730°С, 1 ч,	650°С, 40 мин,	630°C, 40 мин,	555	740	28.0	155
	воздух	воздух	вода	вода				
4	950°С, 1 ч,	730°С, 1 ч,	650°С, 40 мин,	610°С, 40 мин,	580	750	24.5	72
	воздух	воздух	вода	вода				
5	950°С, 1 ч	730°C, 1ч,	630°С, 40 мин,	630°C,	640	750	26.0	110
	воздух	воздух	вода	40 мин, вода				
6-1	950°С, 1ч,	730°С, 1 ч,	650°С, 2ч,		585	770	23.6	164
	воздух	масло	вода		505	770	22.5	150
6-2	950°С, 1 ч,	730°С, 1 ч,	650°С, 2 ч,		585	770	23.5	150
( )	воздух	масло	вода		<b>720</b>	720	22.5	10.4
6-3	950°С, 1 ч,	730°С, 1 ч,	650°С, 2 ч,		530	730	23.5	194
7	воздух 950°С, 1 ч,	воздух 730°С, 1 ч,	вода 650°С 2 гг	650°С, 40 мин,	555	720	22.5	146
/	930 С, ГЧ, воздух	730 С, 1 ч, воздух	650°С, 3 ч, воздух	вода	555	730	23.5	146
8	950°С, 1 ч,	730°С, 1 ч,	650°С, 3 ч,	вода	610	750	25.0	72
o	воздух	воздух	воздух		010	750	23.0	12
9	950°С, 1 ч,	730°C, 1 ч,	-	630°С, 40 мин,	510	750	22.5	237
	воздух	воздух	воздух	вода	310	730	22.3	257
10	950°С, 1 ч,	730°С, 1 ч,	650°С, 3 ч,	610°С, 40 мин,	570	740	23.0	116
10	воздух	воздух	воздух	вода	2,0	,	20.0	
11	930°С, 2 ч,	740°С, 2 ч,	620°С, 3.5 ч,		550	735	25.3	146
	масло	масло	вода					
12	930°С, 2ч,	740°С, 2 ч,	590°С, 3.5 ч,		585	745	26.0	113
	масло	масло	вода					
13	950°С, 1 ч,	700°С, 1.5 ч,	630°С, 1 ч,		595	775	23.3	72
	воздух	воздух	вода					
14	950°С, 2.5ч,	740°С, 2 ч,	650°С, 2 ч,		555	740	24.5	73
	воздух	масло	вода					
15	950°С, 1,5 ч,	730°С, 1.5 ч,	610°С, 1.5 ч,		620	775	23.1	75
	воздух	воздух	вода					
16	930°С, 2 ч,	740°С, 2 ч,	590°С, 3.5ч,		585	745	27.3	113
	масло	масло	вода					

мической выдержки возрастает во времени до термодинамического предела. Повышение температуры выдержки также активирует образование аустенита. В отношении сплавов Fe—Cr известно [9, 10], что начальная концентрация хрома в образовавшемся аустените в ряде случаев оказывается значительно ниже, чем при  $\alpha$ — $\gamma$ -равновесии. Ориентировочно, основываясь на положе-

нии мартенситной точки при межкритической закалке, ее можно оценить как (7-8)% Сг, что соответствует положению низа петли на диаграмме равновесия. Не превратившаяся в аустенит большая часть исходного мартенсита, содержащая 12.4% Сг, в ходе нагрева и выдержки в МКИ подвергается очень высокому отпуску. Происходит выделение частиц карбида хрома (Cr, Fe)<sub>23</sub>C<sub>6</sub>, пере-

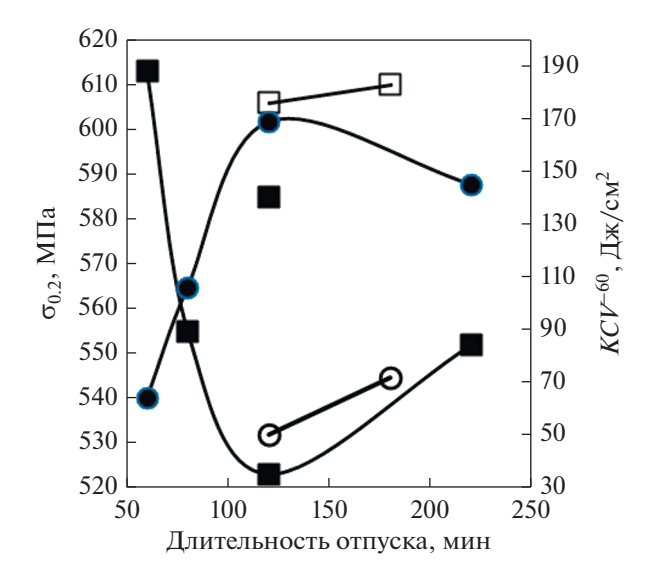


Рис. 2 Зависимость ударной вязкости  $KCV^{-60}$  (♠, ○) и предела текучести  $\sigma_{0.2}$  (■, □) образцов стали15X13H2 от суммарной длительности отпуска(ов) при 650°C с заключительным охлаждением в воде (○, ■) или на воздухе (○, □).

распределение и аннигиляция дислокаций, а также перестройка субзеренной структуры [11, 12].

Отметим, когда в условиях охлаждения аустенит высокохромистой стали испытывает превращение по нормальной кинетике, то образование феррита сопровождается выделением карбидов [11]. Фактически происходит формирование зернистого перлита. Напротив, в участках образовавшейся  $\gamma$ -фазы при нагреве и выдержке в МКИ идет обратный процесс постепенного растворения карбидов по реакции  $\alpha + \kappa \to \gamma$ , где к обозначает карбид. Разумеется, концентрация углерода в  $\gamma$ -фазе при этом возрастает.

Поскольку в большинстве экспериментов после полной от 950°C и межкритической (700-760)°С закалок проводили отпуск при 650°С, то рассмотрение результатов разумно начать с этой температуры. После часового отпуска и охлаждения водой ударная вязкость образцов № 1 (т.е. обработанных по режиму № 1 (табл. 2)), оказалась равной 64 Дж/см<sup>2</sup>. Данные для остальных режимов обработки также соответствовали требованиям ТУ. Еще более высокие результаты испытаний показали образцы от темплета № 2, отпущенные дважды по 40 мин при 650°C и охлажденные в воде. Причем режим двух первых технологических операций (табл. 2) оставался неизменным для многих обработок. Для следующих вариантов термообработки была снижена температура второго отпуска с 650 до 630°C (обр. № 3) и до 610°C (обр. № 4). После первого понижения температуры величина  $KCV^{-60}$  заметно возросла, но при втором уменьшилась. Так что при 630°C наблюдается максимум для зависимости ударной вязкости от температуры отпуска. При этой же температуре проявился слабо выраженный минимум  $\sigma_{0.2}$ , который отчетливо заметен и для других обработок. Вариант № 5 последовательного проведения двух одинаковых отпусков при  $630^{\circ}$ С по 40 мин хотя и не дает максимальной вязкости стали, но позволяет достичь требуемого сочетания предела текучести и ударной вязкости при минимальной длительности обработки.

Повышение длительности отпуска до 2-х часов значительно увеличило  $KCV^{-60}$ . Свойства стали после такой обработки были исследованы для трех темплетов (№ 6-1,2,3), т.е. на 9 ударных и разрывных образцах. Средние значения КСУ-60 для них оказались следующими: 164, 150 и 194 Дж/см<sup>2</sup>; среднее для стали значение 169.3 Дж/см<sup>2</sup> дано на графике рис. 2. Это значение в три раза выше, чем требуется по ТУ. На этом же рисунке показано изменение предела текучести стали  $\sigma_{0,2}$  в зависимости от длительности отпуска и характера заключительного охлаждения. График изменения  $\sigma_{0,2}$  для случая охлаждения водой является как бы зеркальным отражением графика КСУ, однако первый для выдержки 120 мин проведен через нижнюю точку 530 МПа, поддержанную данными трех образцов (6-3). Но выше при 585 МПа расположены две слившиеся в одну точки для значений  $\sigma_{0.2}$  по данным шести образцов (6-1 и 6-2). Эту ситуацию можно рассматривать как проявление неустойчивости процессов, определяющих предел текучести при отпуске. К таким процессам, на наш взгляд, можно отнести: 1) карбидные превращения [2, 13-15] при отпуске высокохромистых сталей и 2) достижение острого максимума - "носа", кинетической кривой выделения карбидных частиц при отпуске мартенсита [16]. Еще Гуляев и Химушин утверждали [2, 15], что в ходе изотермического отпуска вследствие насыщения карбидов хромом и углеродом может проходить превращение карбидных фаз по схеме:  $(Fe, Cr)_3C \rightarrow (Cr, Fe)_7C_3 \rightarrow (Cr, Fe)_{23}C_6$ . Однако после аустенитизации при 730°C в МКИ и закалки на воздухе последующий отпуск был проведен при более низкой температуре (650°C), чем нагрев под МКЗ, что могло стимулировать образование карбида (Сr, Fe), С3 из возникшего раньше в свежем, но обедненном хромом мартенсите, кубического карбида  $(Cr,Fe)_{23}C_6$ . Поскольку кристаллическая решетка первого карбида содержит 3/7 = 0.43 атома С на один металлический атом, а второго только 6/23 = 0.26, то превращение карбидов "in situ" должно сопровождаться "уходом" из α-фазы большого количества углерода. Этот процесс мог бы явиться причиной снижения  $\sigma_{0.2}$ до 530 МПа и повышения ударной вязкости до 194 Дж/см<sup>2</sup>, но по данным рентгеновского фазового анализа количество карбида (Сr, Fe), С, в образцах № 6 оказалось очень низким, ниже чувствительности метода. Поэтому превращение карбидов при отпуске стали в данном случае нельзя рассматривать как главную причину появления максимума  $KCV^{-60}$ .

Следующая точка на кривой рис. 2 относится к технологическому варианту № 7, согласно которому образцы, отпущенные 3 ч при 650°C, были охлаждены на воздухе, повторно выдержаны 40 мин при 650°С и закалены в воде. Измерения механических свойств дали результаты:  $\sigma_{0.2} = 555 \text{ M}\Pi \text{a}$ ,  $KCV^{-60} =$ = 146 Дж/см<sup>2</sup>. Ударная вязкость оказалась ниже, чем в предыдущем случае. Следовательно, кривая изменения KCV в зависимости от длительности отпусков (рис. 2) имеет максимум при выдержке, приблизительно, 2,5 ч. Интересно отметить, что у образцов № 7 три подряд технологические операции, кроме последней, оказались такими же, как для образцов № 8 (см. табл. 2). Следовательно, заключительный отпуск: 40 мин при 650°C и охлаждение в воде, позволил снизить  $\sigma_{0.2}$  с 610 (для № 8) до 555 МПа (для № 7). Ударная вязкость этих образцов различается в два раза: 72 и 146 Дж/см<sup>2</sup>. Для образцов № 8 этот уровень довольно высок, несмотря на то, что в условиях замедленного охлаждения на воздухе сталь подвергается отпускному охрупчиванию. Можно видеть, что эффект повышения ударной вязкости, связанный с выделением или превращением карбидов, проявляется и для режима обработки № 7. Этот факт становится очевидным, если температуру заключительного отпуска снизить всего на 20°C до 630°C (образцы № 9). Тогда после 40-минутной выдержки и охлаждения в воде достигается уже упомянутое рекордное значение  $KCV^{-60} = 237 \, \text{Дж/см}^2$ , а  $\sigma_{0.2} = 510 \ \mathrm{M\Pi a}$  оказывается ниже, чем у образцов № 6-3. Дальнейшее снижение температуры отпуска до 610°С (образцы № 10) вновь приводит к понижению  $KCV^{-60}$  и увеличению  $\sigma_{0.2}$ . И в этом случае экстремумы температурных зависимостей рассматриваемых свойств соответствовали 630°C. Уже отмечено, что сходную последовательность изменения свойств создают образцы № 2-4, для которых первый отпуск после МКЗ был проведен в течение 40 мин при 650°C, а следующие такой же продолжительности при 650, 630 и 610°C. Экстремумы на зависимостях  $KCV^{-60}$  и  $\sigma_{0.2}$  и в этом случае оказались расположенными при 630°C.

Таким образом, доказана независимость температурного положения этих экстремумов от длительности предшествующего отпуска.

Считая, что экстремумы свойств обусловлены достижением минимальной концентрации углерода в  $\alpha$ -фазе, а значит и наибольшей скорости образования и коагуляции частиц (Cr,Fe) $_{23}$ C $_6$ , можно заключить, что температура экстремумов приблизительно совпадает с положением "носа"

С-образной диаграммы выделения карбидов при отпуске мартенсита стали [16].

В действительности, согласно требованиям ТУ (см. табл. 2), нужно добиться такого структурного состояния стали, чтобы KCV имела величину, меньшую максимальной, а  $\sigma_{0.2}$  — большую минимальной, но в пределах допуска (см. табл. 2).

Например, режим двух отпусков при  $650 + 630^{\circ}$ С (№ 3) обеспечивает более высокую ударную вязкость, чем вариант  $650 + 650^{\circ}$ С (№ 2), но его на практике использовать нельзя из-за недопустимо низких значений  $\sigma_{0.2}$ . Режим  $630 + 630^{\circ}$ С (№ 5) последовательного проведения двух одинаковых отпусков при  $630^{\circ}$ С, 40 мин не дает максимальной вязкости стали вследствие уменьшения скорости диффузии углерода и, соответственно, диаметра выделяющихся карбидных частиц и расстояния между ними. Однако он позволяет достичь требуемого сочетания предела текучести и ударной вязкости при минимальной длительности обработки.

Как показывают данные для образцов № 11—16, воздействие даже значительного снижения температуры последнего отпуска можно скомпенсировать увеличением продолжительности отпуска, и получить требуемое сочетание прочности и ударной вязкости. Следует обратить внимание на то, что достигаемые механические свойства существенно зависят также от температуры и длительности выдержки при МКЗ, что будет рассмотрено в последующих работах.

#### ВЫВОДЫ

- 1. Установлены режимы термической обработки стали 15X13H2, которые обеспечивают необходимый уровень механических свойств труб по группе прочности L80 13Cr. Они включают полную и межкритическую закалки, а также однократный или двойной отпуск с окончательным охлаждением в воде или на воздухе.
- 2. Существует отчетливо выраженная корреляционная зависимость между пределом текучести  $\sigma_{0.2}$  и ударной вязкостью  $KCV^{-60}$  для большой группы опытных труб, прошедших термическую обработку по различным режимам.
- 3. При случайном переборе температур и длительностей однократного или двойного отпуска после МКЗ наблюдались случаи достижения очень высокой ударной вязкости, что раньше нас наблюдали Сагарадзе с сотр. [17] для высокохромистой реакторной стали MANET-2.
- 4. Характер изменения  $KCV^{-60}$  и  $\sigma_{0.2}$  при смене температур второго отпуска в последовательности  $650^\circ$ , 630,  $610^\circ$ C не зависит от продолжительности первого общего отпуска при  $650^\circ$ C: максимум  $KCV^{-60}$  и минимум  $\sigma_{0.2}$  наблюдались при одной тем-

пературе 630°С. Следовательно, причиной появления экстремумов рассматриваемых свойств является существование острого максимума скорости выделения карбидных частиц, который обеспечивает низкое содержание углерода и, как следствие, высокую ударную вязкость, но пониженный предел текучести в отпущенном мартенсите. Отпуск при температуре на 20—40°С ниже температурного максимума скорости выделения карбидных частиц часто обеспечивает требуемые свойства.

#### СПИСОК ЛИТЕРАТУРЫ

- 1. *Пикеринг Ф.Б.* Физическое металловедение и разработка сталей. М.: Металлургия, 1982. 184 с.
- 2. *Химушин Ф.Ф.* Нержавеющие стали. М.: Металлургиздат, 1969. 800 с.
- 3. *Мирзаев Д.А., Безик А.С., Созыкин С.А., Маковецкий А.Н.* Влияние межкритической закалки на механические свойства стали 13X11H2B2MФ // Вестник МГТУ им. Г.И.Носова. 2018. № 4. С. 45—49.
- 4. *Беляков Л.Н., Козловская В.И.* Остаточный аустенит в мартенситных нержавеющих сталях // Металловедение и термическая обработка металлов. 1965. № 2. С. 52–54.
- Лаев К.А. Влияние легирования и термической обработки на структуру и свойства коррозионностойких высокохромистых сталей мартенситного и супер мартенситного классов для изготовления труб нефтегазового сортамента. Автореф. канд. дис. Челябинск, ЮУРГУ, 2016. 21 с.
- 6. Пышминцев И.Ю., Битюков С.М, Лаев К.А., Борякова А.Н., Мананников Д.А. Исследование сталей класса "супер-хром", предназначенных для изготовления коррозионностойких высокопрочных труб нефтяного сортамента // Черная металлургия. 2010. № 2(1322). С. 51–56.

- 7. Смирнов М.А., Пышминцев И.Ю., Лаев К.А., Ахмедьянов А.М. Влияние высокотемпературной термомеханической обработки на свойства высокохромистой стали // Вестник ЮУрГУ. Сер. "Металлургия". 2012. № 39. С. 85—88.
- 8. Мирзаев Д.А., Созыкин С.А., Маковецкий А.Н., Красноталов А.О., Юсупова Л.И. Дилатометрическое исследование образования мартенсита и эффектов стабилизации аустенита в высокохромистой стали 15X13H2 // ФММ. 2019. В печати.
- 9. *Hucuдзава Т., Тuба A.* Phenomenological consideration on interphase equlilibrium in diffusion couple. // "Нихон киндзоку гаккайси, J. Jap. Inst. Metals". 1970. V. 34. № 6. Р. 629–637.
- 10. Дубинин Г.Н. О механизме формирования диффузионного слоя // Защитные покрытия на металлах. 1976. Вып. 10. С. 12—17.
- 11. *Попова Л.Е., Попов А.А.* Диаграммы превращения аустенита в сталях и бета-раствора в сплавах титана; Справочник термиста. 3-е изд., перераб. и доп. М.: Металлургия, 1991. 503 с.
- 12. Ланская К.А. Высокохромистые жаропрочные стали. М.: Металлургия, 1976. 215 с.
- Бернитейн М.Л., Капуткина Л.М., Прокошкин С.Д. Отпуск стали. М.: МИСИС, 1997. 335 с.
- 14. Beech J., Warrington D.H.  $M_7C_3$  to  $M_{23}C_6$  transvormation chromium containing alloys // J. Iron and Steel Inst. 1966. V. 204. No 5. P. 460–468.
- Gulyaev A.P. Carbide transformations in alloy steels // Metal. Sci. Heat Treatment. 1959.V. 1. № 11. C. 53–60.
- 16. *Мартин Дж., Доэрти Р.* Стабильность микроструктуры металлических систем. Пер. с англ. М.: Атомиздат, 1978. 280 с.
- 17. Косицина И.И., Сагарадзе В.В., Зуев Ю.Н., Перуха А. Снижение порога хладноломкости реакторной высокохромистой стали MANET-II // ФММ. 1998. Т. 86. Вып. 2. С. 132—138.